

# Forschergruppe „Experimentelle Geotechnik, Bodenmechanik“

Research Group „Experimental geotechnics, soil mechanics“

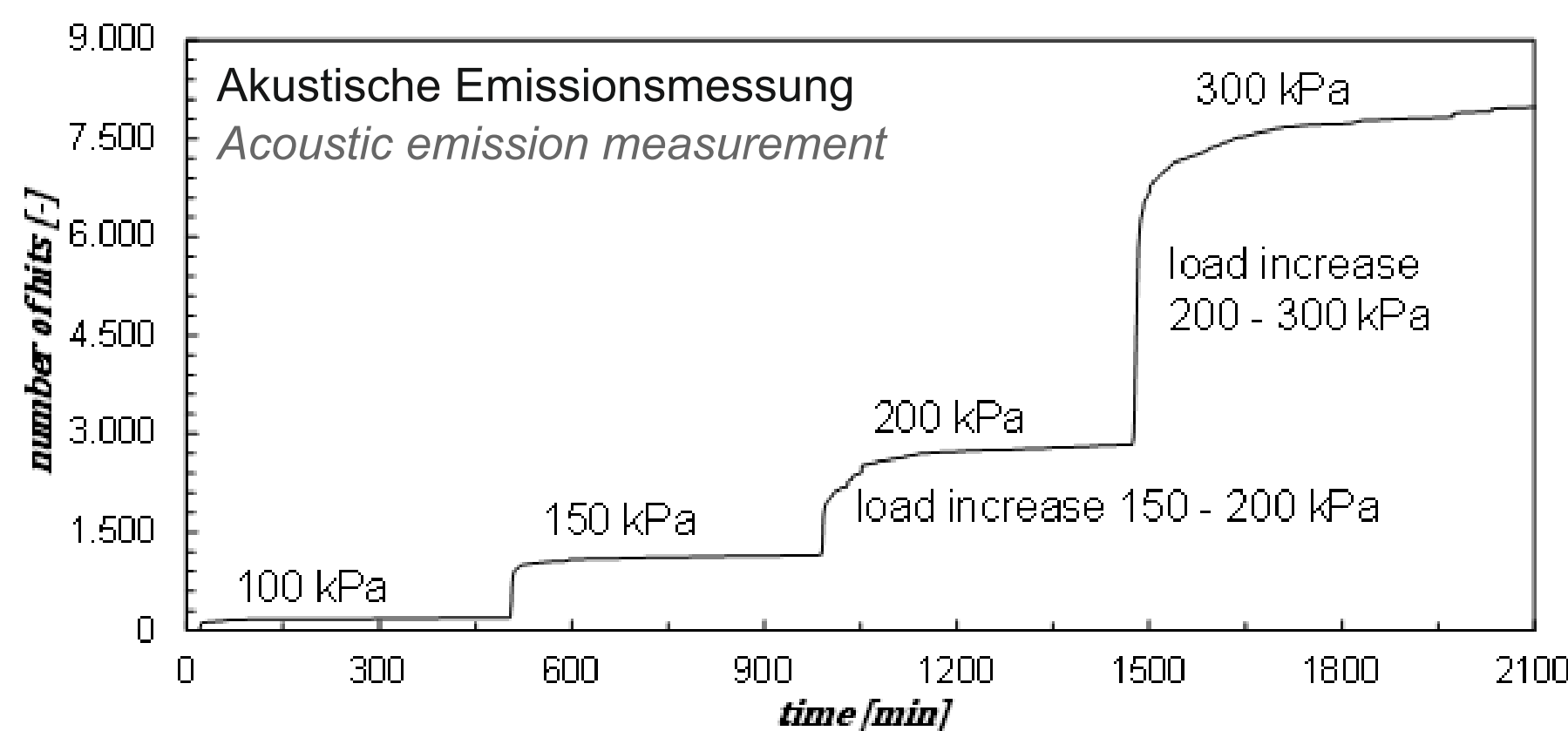
## Kombinierte Untersuchungen von Kriechen und Alterungseffekten in granularen Materialien

Combined analysis on creep and ageing effects in granular material

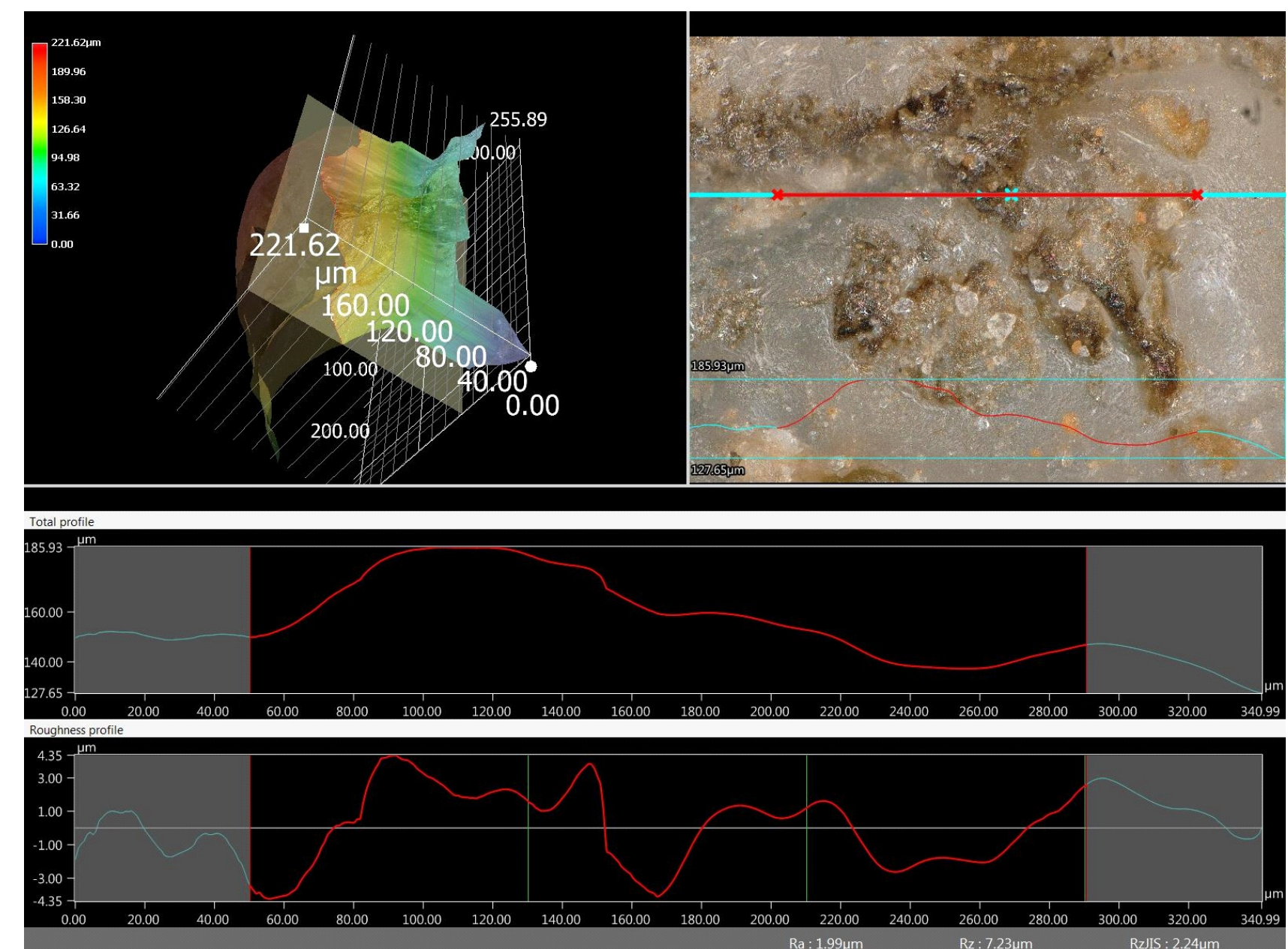
**Motivation:** Beobachtung makroskopischer Zeiteffekte bei grobkörnigen Böden  
*Observation of macroscopic time effects of granular soils*

**Ziel:** Schaffung einer experimentellen und mathematischen Grundlage zur Simulation des zeitabhängigen Verhaltens granularer Materialien  
*Creation of an experimental and mathematical basis for the simulation of the time-dependent behaviour of granular materials*

**Methodik:** Mikroskopische Vorgänge als Ursache für Kriechen und Alterung  
*Microscopic processes as a cause of creep and ageing*



Gefördert durch die Deutsche Forschungsgemeinschaft (DFG) – CU 363/1-1



Oberflächenbeschaffenheit eines Sandkorns  
Surface profile and roughness of a sand grain

Ansprechpartner: M.Sc. Belinda Bock – belinda.bock@tum.de  
Dr.-Ing. Stefan Vogt – stefan.vogt@tum.de

## Zeitabhängiges Verformungsverhalten von Sanden

Time dependent deformation behaviour of sands

**Hintergrund:** Zeitabhängiges Verformungsverhalten von Tagebaukippen aus Sanden  
*Time-dependent deformation behaviour of opencast mining dumps from sands*

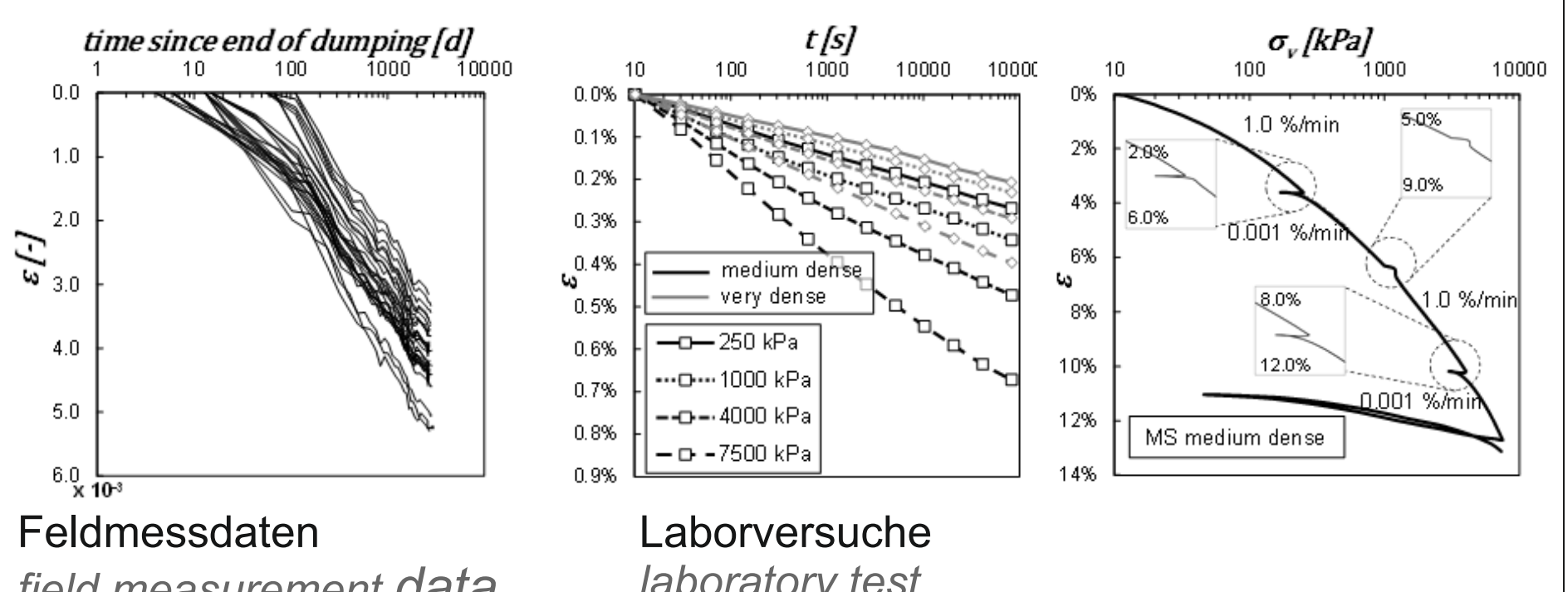


Tagebau/open cast mine

**Methodik:** Untersuchung anhand von Laborversuchen und Feldmessdaten  
*Investigation based on laboratory tests and field measurement data*

Beobachtung des grundlegenden bodenmechanischen Verhaltens und Übertragung auf Feldmessdaten sowie mathematische Modelle zur Verformungsbeschreibung

*Observation of the basic soil mechanical behaviour and transfer to field measurement data as well as mathematical models for deformation description*



Feldmessdaten  
field measurement data

Laborversuche  
laboratory test

Modellansatz  
model approach

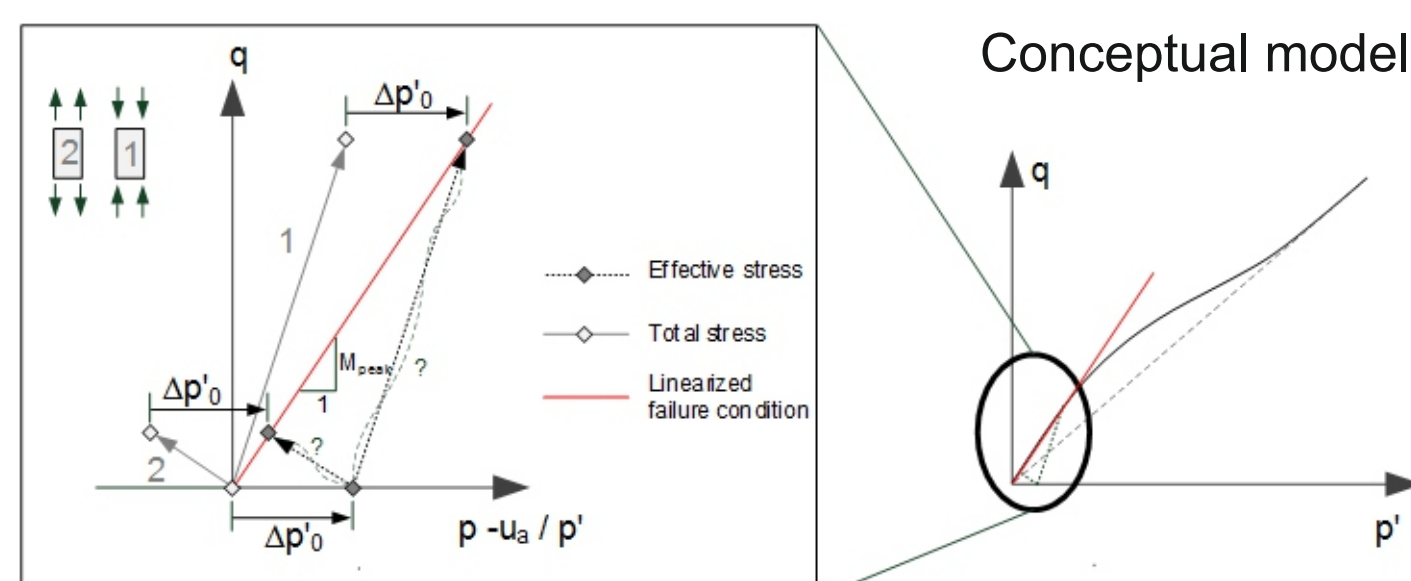
$$C_\alpha = [\omega \cdot r_e + C_{\alpha,ref}(r_{e0})] \left( \frac{p'}{p'_{ref}} \right)^\theta$$

Umsetzung in Zusammenarbeit mit:

Ansprechpartner: M.Sc. Friedrich Levin – friedrich.levin@tum.de  
Dr.-Ing. Stefan Vogt – stefan.vogt@tum.de

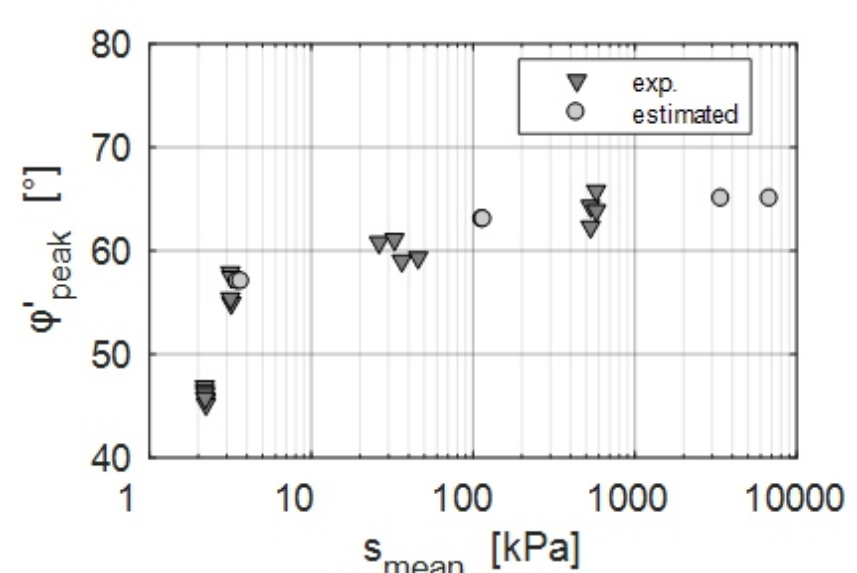
## Effektive Spannungen und Peak-Reibungswinkel für ungesättigten schluffigen Sand bei kleinen Spannungen

Effective stress and peak friction angle of an as-compacted silty sand at very low stress state



Results for samples compacted at  $w_{comp.} = 2.2\% - 8.9\%$  to  $I_D = 0.69$

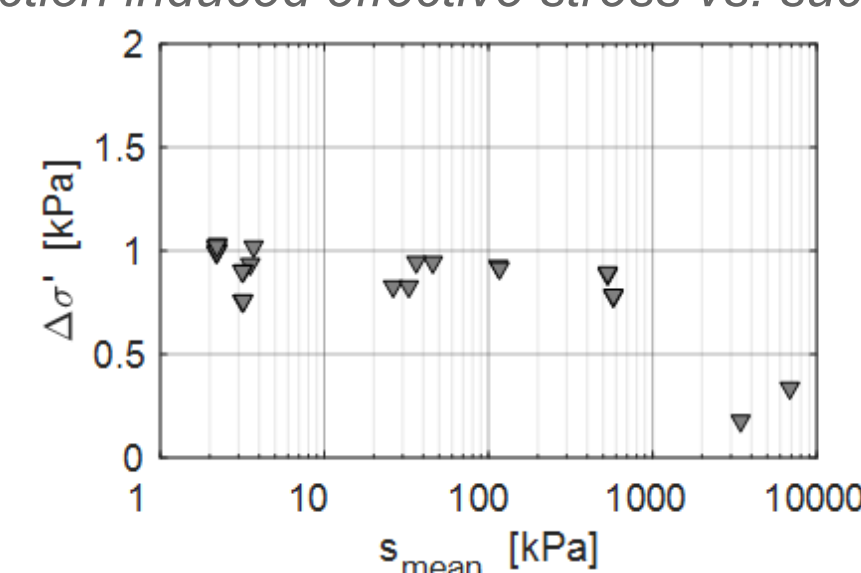
Peakreibungswinkel vs. Saugspannung  
Secant peak friction angle vs. suction



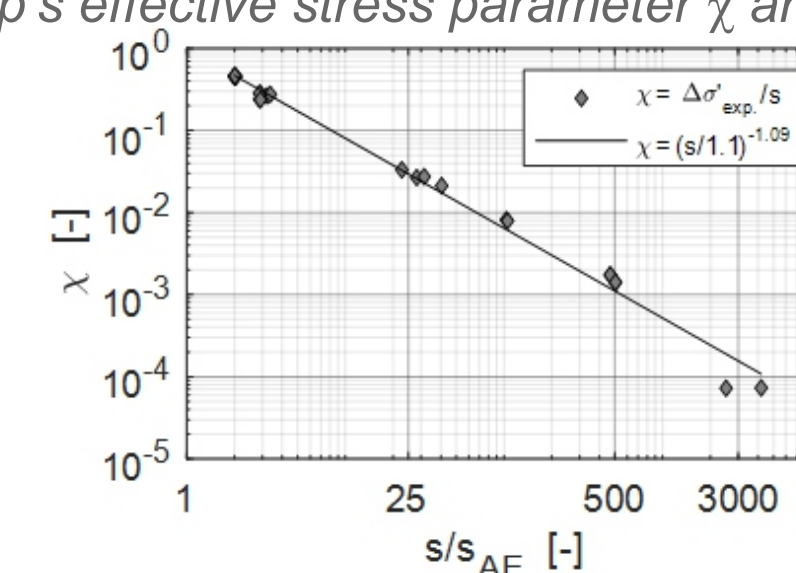
Bestimmung von saugspannungsinduzierter effektiver Spannung  $Dp'_0$  und Spannungsverhältnis  $M_{peak}$  bei sehr kleinem Spannungsniveau anhand von einaxialen Druck- [1] und Zugversuchen [2]

*Suction induced effective stress  $Dp'_0$  and stress obliquity  $M_{peak}$  at very low stress states derived from unconfined compression tests [1] and uniaxial tensile tests [2]*

Saugspannungsinduzierte effektive Spannung vs. Saugspannung  
Suction induced effective stress vs. suction



Bishops effektiver Spannungsparameter  $\chi$  und Best-fit  
Bishop's effective stress parameter  $\chi$  and best-fit



Ansprechpartner: M.Sc. Ludwig Angerer – ludwig.angerer@tum.de  
Dr.-Ing. Emanuel Birle – emanuel.birle@tum.de